



ОБЪЕДИНЕННЫЙ ИНСТИТУТ ЯДЕРНЫХ ИССЛЕДОВАНИЙ
ЛАБОРАТОРИЯ ВЫСОКИХ ЭНЕРГИЙ

К.Д. Толстов

P-1489

**АСИММЕТРИЯ ВЫЛЕТА БАРИОНОВ,
ПОСТОЯНСТВО ПОПЕРЕЧНОГО ИМПУЛЬСА
И ПРИНЦИП НЕОПРЕДЕЛЕННОСТИ**

Дубна . 1983

К.Д. Толстов

P-1489

АСИММЕТРИЯ ВЫЛЕТА БАРИОНОВ,
ПОСТОЯНСТВО ПОПЕРЕЧНОГО ИМПУЛЬСА
И ПРИНЦИП НЕОПРЕДЕЛЕННОСТИ

СОЕДИНЕННЫЙ ИНСТИТУТ
ЯДЕРНЫХ ИССЛЕДОВАНИЙ
БИБЛИОТЕКА

Дубна 1983

219/1
чф.

1. Длина волны Де-Бройля и принцип неопределенности

В свете тенденций современной теории неупругие столкновения π -мезонов с нуклонами считаются более простыми, чем нуклон-нуклонные соударения.

Длина волны Де-Бройля для быстрых π -мезонов λ_π равна:

$$\lambda_\pi = \frac{\hbar}{m_\pi \cdot c} [\Sigma(\Sigma + 2)]^{1/2},$$

где m_π - масса, а Σ - кинетическая энергия π -мезона в единицах его массы покоя. В таблице 1 даны величины λ_π функции энергии мезона.

Таблица 1

Энергия мезона в Бэв	λ_π в Ферми
4	0,30
7	0,17
18	0,08

Как видно из таблицы, λ_π значительно меньше принятого радиуса нуклонов ($\sim 1 \text{ fm}$), но больше или сравнима с комptonовской длиной нуклона $0,2 \text{ fm}$ и, следовательно, если область взаимодействия такого же порядка, то может быть существенной величина λ_π , то есть энергия налетающей частицы.

Оценим область взаимодействия, используя принцип неопределенности. Он является краеугольным камнем квантовой механики, и ее применимость к процессам столкновения быстрых частиц, очевидно, требует его выполнения. Однако принцип неопределенности есть неравенство:

$$\langle \Delta p_x^2 \rangle \cdot \langle \Delta x^2 \rangle \geq \frac{\hbar^2}{4}.$$

Следовательно, для оценки области взаимодействия необходимо в первую очередь уточнить знак "больше или равно". Этот вопрос рассматривался в основополагающей работе Гейзенберга^{1/1}, где было показано, что если импульсное и координатное

распределения являются Гауссовыми, то произведение $\Delta P_x \Delta x$ имеет минимальное значение и справедлив знак равенства. В этом случае в цилиндрических координатах: $x^2 + y^2 = r_{\parallel}^2$; $z = r_{\perp}$ мы будем иметь:

$$\langle \Delta p_{\perp}^2 \rangle \langle \Delta r_{\perp}^2 \rangle = \hbar^2; \quad \langle \Delta p_{\parallel}^2 \rangle \langle \Delta r_{\parallel}^2 \rangle = \frac{\hbar^2}{4}. \quad (1)$$

Итак, если в неупругих столкновениях быстрых частиц справедлив принцип неопределенности и если распределение импульсов является Гауссовым, то можно определить область взаимодействия r . Нас интересует область взаимодействия с точки зрения структуры нуклона, то есть величина r , отсчитываемая, например, от его центра. Поэтому мы будем использовать систему центра масс и измерять, согласно ^{/2/}, расстояния в относительных координатах, т.е. между центрами тяжести сталкивающихся частиц. В этом случае $\langle r \rangle = 0$, следовательно, $\langle \Delta r^2 \rangle = \langle r^2 \rangle$. Вектор среднего поперечного импульса, очевидно, равен нулю, поэтому

$$\langle \Delta p_{\perp}^2 \rangle = \langle p_{\perp}^2 \rangle.$$

Следовательно, формулы (1) можно записать в виде:

$$\langle p_{\perp}^2 \rangle \cdot \langle r_{\perp}^2 \rangle = \hbar^2; \quad \langle \Delta p_{\parallel}^2 \rangle \cdot \langle r_{\parallel}^2 \rangle = \frac{\hbar^2}{4}. \quad x/ \quad (2)$$

2. Поперечный и продольный импульсы барионов в неупругих столкновениях

Величину r целесообразно определить, ограничиваясь пока только барионами, так как π и K -мезоны с большей вероятностью могут возникать в последующих реакциях распада состояний типа ρ , ω , γ^* , которые образуются в столкновениях быстрых частиц. Для поставленной цели определения r необходимо выяснить, с какой степенью точности импульсное распределение можно считать Гауссовым. Известен крайне интересный и важный факт постоянства среднего поперечного импульса нуклонов $\langle p_{\perp} \rangle$ при изменении массы налетающей быстрой частицы и ее энергии, а в первом приближении также и массы вторичных частиц. Этот факт иллюстрирует таблица 2, построенная для неупругих столкновений мезонов и протонов с протонами в основном по данным, суммированным в работе ^{/3/}.

$$\text{Или: } \langle \Delta P_x^2 \rangle \cdot \langle \Delta x^2 \rangle = \langle P_x^2 \cdot \cos^2 \phi \rangle \cdot \langle r_{\perp}^2 \cdot \cos^2 \phi \rangle = \langle P_x^2 \rangle \langle \cos^2 \phi \rangle \cdot \langle r_{\perp}^2 \rangle \langle \cos^2 \phi \rangle = \\ = \langle p_{\perp}^2 \rangle \cdot \frac{1}{2} \cdot \langle r_{\perp}^2 \rangle \cdot \frac{1}{2} = \frac{\hbar^2}{4}; \quad \langle P_x^2 \rangle \cdot \langle r_{\perp}^2 \rangle = \hbar^2.$$

Таблица 2

Первичная частица	Энергия первич. частицы в Бэв	Тип события	Вторичная частица	$\langle P_{\perp} \rangle$ в Бэв/с
P	3,7	4-лучевые	P	0,387 ^{+0,009} -0,004
P	9	Все неупругие	P	0,37 \pm 0,03
P	25	"	P	0,40 \pm 0,05
π^-	7	"	"	0,37 \pm 0,04
"	10	"	"	0,378 ^{+0,027} -0,013
"	10	Странные частицы	"	0,44 \pm 0,05
"	11,4	4-лучевые	"	0,411 ^{+0,022} -0,013
"	16	Все неупругие	"	0,410 \pm 0,012
π^-	10	Странные частицы	K^0	0,390 \pm 0,02
"	"	"	Λ	0,460 \pm 0,02
"	"	"	Σ^{\pm}	0,510 \pm 0,04
"	11,4	"	Ξ^-	0,560 \pm 0,08
"	16	"	K^0	0,370 \pm 0,05
"	16	"	Λ	0,410 \pm 0,07
"	16	"	Σ^{\pm}	0,650 \pm 0,1

Как видно из таблицы 2, для протонов в пределах ошибок измерений $\langle P_{\perp} \rangle$ постоянно. В космических лучах с энергией много большей, чем получаемая на ускорителях, пока нет данных о $\langle P_{\perp} \rangle$ для протонов, однако косвенные соображения позволяют предполагать несильное изменение $\langle P_{\perp} \rangle$. Действительно, по ускорительным данным полный импульс мезонов P_{π} в с.ц.м. и $\langle p_{\perp} \rangle$ - практически не зависят от массы и энергии первичной быстрой частицы $\langle P \rangle = 0,5$ Бэв/с, а из данных ^{/4/} для энергии первичных частиц $\langle E \rangle = 60$ Бэв $\langle p_{\perp} \rangle = 0,46$ Бэв, $\langle E \rangle = 200$ Бэв: $\langle p_{\perp} \rangle = 0,51$ Бэв. Этот результат и постоянство $\langle p_{\perp} \rangle$ для протонов в таблице 2 позволяют считать, что $\langle p_{\perp} \rangle$ несильно изменится и при больших энергиях.

Постоянство $\langle p_{\perp} \rangle$ можно объяснить, считая справедливыми две основные рабочие гипотезы:

1. Принцип неопределенности со знаком равенства.

2. Постоянство поперечного импульса нуклонов есть следствие постоянства области взаимодействия, которая в основном определяется структурой нуклона и слабо зависит от налетающей частицы и ее энергии.

Выполнение пункта 1 требует, чтобы по осям прямоугольной системы координат распределение импульсов было Гауссовым. В этом случае в цилиндрической системе координат с осью по направлению импульса первичной частицы для поперечного импульса имеет место двумерное максвелловское распределение:

$$W(p_{\perp}) = \frac{2}{\langle p_{\perp}^2 \rangle} p_{\perp} \exp\left(-\frac{p_{\perp}^2}{\langle p_{\perp}^2 \rangle}\right) \quad (3)$$

где $\langle p_{\perp}^2 \rangle^{1/2}$ - среднеквадратичный поперечный импульс.

Для максвелловского распределения отношение среднеквадратичного к среднему равно:

$$Q = \frac{\langle p_{\perp}^2 \rangle^{1/2}}{\langle p_{\perp} \rangle} = \sqrt{\frac{4}{\pi}} = 1,13.$$

Опытная величина Q по объединенной статистике согласно /8/, /8а/ и /8б/ равна:

$$Q = 1,11 \pm 0,03.$$

(При выводе формулы (3) согласно, например, /9/ (стр. 97), необходимо учесть, что распределение поперечного импульса симметрично по осям x , y , и, следовательно:

$$\langle p_x^2 \rangle = \langle p_y^2 \rangle = \frac{1}{2} \langle p_{\perp}^2 \rangle,$$

поэтому в знаменателе экспоненты стоит $\langle p_{\perp}^2 \rangle$).

На рис. 1 приведена гистограмма $N(p_{\perp})$ по опытным данным /8/, /8а/ и /8б/, двумерное максвелловское распределение согласно формуле (3), а также, для сравнения, Гауссово распределение. Расчетные кривые нормированы на одинаковую площадь с опытной гистограммой. Согласно рисунку, а также из близости расчетных и опытных значений, величины Q следует, что максвелловское 2-мерное распределение хорошо согласуется с опытными данными. Следовательно, распределение поперечного импульса по декартовым осям является Гауссовым и в соотношении неопределенности справедлив знак равенства.

Основываясь на пункте 2, определим величину области взаимодействия $\langle r_{\perp}^2 \rangle^{1/2}$, используя данные /8/ для протонов: $\langle p_{\perp} \rangle = 0,37 \pm 0,04$, $\langle p_{\perp}^2 \rangle^{1/2} = 0,41 \pm 0,05$. Из таблицы 2 получим, что в π^- - p столкновениях при 10; 11,4 и 16 Бэв средневзвешенное значение поперечного импульса протонов равно: $\langle p_{\perp} \rangle = 0,40 \pm 0,01$. Если принять, что при этих энергиях $Q = 1,11$, как и в /8/ для 7 Бэв, то получим $\langle p_{\perp}^2 \rangle^{1/2} = 0,45 \pm 0,04$. Средняя величина этих двух значений равна $(0,43 \pm 0,03)$ Бэв/с. Откуда, применяя (2), получим

$$\langle r_{\perp}^2 \rangle^{1/2} = (0,46 \pm 0,05) \text{ fm}.$$

Эта величина больше, чем λ_{π} по таблице 1 при энергии π^- -мезонов ~ 7 Бэв, что согласуется с предположением о постоянстве r_{\perp} и с фактом постоянства поперечного импульса нуклонов.

Проведем аналогичный анализ, оперируя с продольным импульсом протонов. Согласно Ферми, область взаимодействия в направлении движения должна испытывать лоренцовское сокращение, и Д.И. Блохинцев отмечал, что из соотношения неопределенности среднеквадратичные отклонения продольного и поперечного импульса нуклона в с.ц.м., возможно, связаны соотношением:

$$I = \frac{\langle \Delta p_{\parallel}^2 \rangle^{1/2}}{\langle \Delta p_{\perp}^2 \rangle^{1/2}} = \gamma_0, \quad (4)$$

где γ_0 - лоренцовский фактор в с.ц.м.

Расчет, проведенный при подготовке работы /8/, дал величину I , близкую к единице. Однако при этом не было учтено, что согласно формулам (2) множитель при k^2 для поперечного импульса 1, а для продольного $\frac{1}{4}$. В соответствии с этим вместо (4) мы должны получить

$$2 \frac{\langle \Delta p_{\parallel}^2 \rangle^{1/2}}{\langle p_{\perp}^2 \rangle^{1/2}} = \gamma_0. \quad (5)$$

В таблице 3 сопоставлены результаты расчетов по формуле (5) на основе всех известных автору работ, содержащих спектры протонов. При этом для энергии 7 Бэв использовались импульсы отдельных протонов, при энергиях 16 и 24,5 Бэв гистограммы работ /7/ и /3/, где дано распределение числа протонов в функции p_{\parallel} . При энергии 4 Бэв из работы /8/ использовалось угловое $N(\theta)$ и импульсное $p(\theta)$ распределение протонов в реакции: $\pi^- + p \rightarrow \pi^- + p + \pi^0$.

Т а б л и ц а 3

Энергия мезонов в Бэв	$\langle p_{\parallel} \rangle$ Бэв/с	$\langle \Delta p_{\parallel}^2 \rangle^{1/2}$ Бэв/с	$\langle p_{\perp} \rangle$ Бэв/с	$\langle p_{\perp}^2 \rangle^{1/2}$ Бэв/с	γ_0	
					Расчетное	Известное
4	-0,7	$\leq 0,41$	0,37	0,42	$\leq 1,95$	1,7
7	-0,74	$0,48 \pm 0,04$	$0,37 \pm 0,04$	$0,41 \pm 0,05$	$2,34 \pm 0,35$	2,1
16	-1,9	$0,57 \pm 0,1$	$0,40 \pm 0,08$	$0,45 \pm 0,08$	$2,54 \pm 0,8$	3
24,5	$-2,7^x)$	$0,88 \pm 0,1$	$0,40 \pm 0,06$	$0,45 \pm 0,08$	$3,0 \pm 0,7$	3,8
32		$0,97^{xx)}$				4,3
70		$1,38^{xx)}$				6,1

x) Измерялись только протоны, летевшие в с.ц.м. в заднюю полусферу.

xx) Рассчитаны по формуле (5), принимая $\langle p_{\perp}^2 \rangle = 0,45$ Бэв/с.

Таблица 3 показывает рост $\langle \Delta p_{\parallel}^2 \rangle^{1/2}$ с увеличением y_0 и согласно рассчитанных по формуле (5) и известных значений величины y_0 . Очень желательно уточнение экспериментальных данных и опыты при больших энергиях.

Остановимся на зависимости поперечного импульса от массы вторичных частиц. Экспериментальные данные, суммированные в таблице 2, показывают некоторый рост поперечного импульса при измерении масс частиц от π -мезонов до Ξ^- . В настоящем рассмотрении мы ограничились протонами, потому что для них неупругие столкновения можно предполагать преимущественно одноактными процессами, то есть вылет протона непосредственно после столкновения первичной частицы. Это предположение согласуется с тем, что для энергии $\gtrsim 5$ Бэв опыты показывают, например, малый вклад изобары $3/2, -3/2$. Тенденция роста поперечного импульса $\langle p_{\perp} \rangle = 0,40; 0,51; 0,04; 0,56 \pm 0,08$ соответственно для p, Σ^{\pm} и Ξ^- , возможно, объясняется двумя путями: уменьшением области взаимодействия в процессах с генерацией странных частиц или же согласно [8] тем, что барионы, обладающие странностью, возникают при распаде сильно возбужденных барионов, которые образуются в акте первичного столкновения. В этом случае их импульс будет функцией импульса возбужденного бариона и импульса, приобретаемого при распаде последнего, поэтому результирующий импульс должен быть больше. Ответить на этот вопрос позволит изучение величины $\langle \Delta p_{\parallel}^2 \rangle^{1/2} / \langle p_{\perp}^2 \rangle^{1/2}$ в функции массы барионов и энергии первичных частиц.

3. Асимметрия вылета барионов

Полный импульс нуклона в с.д.м. зависит от доли энергии, которую он отдает на генерацию вторичных частиц. Эта доля определяется числом и спектром последних. Опытные данные о числе вторичных частиц согласуются с расчетами по статистической теории. Аналогично этому согласуются также импульсные спектры вторичных мезонов. Опытный импульсный спектр протонов в с.д.м. показывает превышение среднего импульса над расчетным значением в пределах 15%, так, например, в $\pi^- - N$ столкновениях при 7 Бэв согласно [6] $\langle p \rangle = (0,89 \pm 0,04)$ Бэв/с, а расчеты в работе [10] дают $\langle p \rangle = 0,75$ Бэв/с. Вычисление углового распределения вторичных частиц требует знания матричного элемента $|N_{jk}|^2$ для перехода системы из начального состояния в конечное, однако в статистической теории мы принуждены ограничиться предположением о постоянстве матричного элемента. В работе [11] показано, что на основе статистической теории Ферми принципиально нельзя получить угловое распределение частиц. Опыты дают сильную анизотропию протонов в с.д.м. в неупругих $P-p$ и $P-l$ столкновениях. В работе [8] для $\pi^- - N$ столкновений при 7 Бэв была доказана резкая асимметрия протонов в с.д.м. (летащих в заднюю полусферу). Все последующие работы в области

энергии до 17 Бэв подтверждают этот эффект. Для объяснения асимметрии предложено много теоретических схем, которые основываются на предположении о взаимодействии налетающего мезона с одним из виртуальных мезонов нуклона. Однако асимметрия может быть объяснена и на основе излагаемых здесь принципов. Основываясь на согласии данных (6) и (10) для $\langle |p| \rangle$ и постоянстве $\langle p_{\perp} \rangle$, можно считать, что величина $\langle |p_{\parallel}| \rangle$ не может быть малой. Далее, если бы с равной вероятностью нуклоны имели вектор импульса направленным вперед или назад, то $\langle p_{\parallel} \rangle = 0$, и тогда $\langle \Delta p_{\parallel}^2 \rangle = \langle p_{\parallel}^2 \rangle$. Рассмотрим, к чему это приведет, например, в $\pi^- - N$ столкновениях при 7 Бэв. Используя данные [8], получим $\langle p_{\parallel} \rangle = -0,74$ Бэв/с, $\langle p_{\perp}^2 \rangle^{1/2} = 0,88$.

Рисунок 2 показывает, что опытная гистограмма $N(p_{\parallel})$, в пределах ошибок, согласуется с Гауссовой кривой, аппроксимируемой функцией: $N(p_{\parallel}) = \frac{1}{\sigma \sqrt{2\pi}} \exp(-\frac{p_{\parallel}^2}{2\sigma^2})$. Следовательно, для продольного импульса можно считать справедливым Гауссово распределение и потому применять формулу (2). Используя величину $\langle \Delta p_{\parallel}^2 \rangle^{1/2}$ в таблице 3, из формулы (2), получим:

$$\langle r_{\parallel}^2 \rangle^{1/2} = 0,11 \text{ fm}$$

Аналогично этому при 18 Бэв получим $\langle r_{\parallel}^2 \rangle^{1/2} \leq 0,05 \text{ fm}$. Эти значения много меньше, чем ранее полученная величина

$$\langle r_{\perp}^2 \rangle^{1/2} = 0,46 \text{ fm}$$

и даже чем

$$\langle r_{\parallel}^2 \rangle^{1/2} = \langle r_{\perp}^2 \rangle^{1/2} / y_0,$$

то есть область взаимодействия с учетом лоренцовского сжатия. Это противоречие с релятивизмом и устраняет угловая асимметрия. Действительно, если вероятность вылета назад (или вперед) больше, то $\langle p_{\parallel} \rangle \neq 0$, поэтому (при $\langle |p_{\parallel}| \rangle = \text{Const}$) $\langle \Delta p_{\parallel}^2 \rangle = \langle p_{\parallel}^2 \rangle - \langle p_{\parallel} \rangle^2$ - уменьшается, а $\langle r_{\parallel}^2 \rangle$ - возрастает. Таким образом, угловое распределение нуклонов в неупругих $\pi^- - N$ столкновениях может быть объяснено на основе величины среднего импульса нуклона в результате генерации вторичных частиц, $\langle p_{\perp}^2 \rangle$ и $\langle \Delta p_{\parallel}^2 \rangle$ в соответствии с принципом неопределенности и релятивистским сжатием области взаимодействия в продольном направлении.

Рассмотренный эффект косвенно может объяснить и асимметрию вперед в угловом распределении мезонов в $\pi^- - N$ столкновениях. Эта асимметрия в с.д.м. наиболее выражена при малой множественности вторичных мезонов и, очевидно, необходима для импульсного баланса, так как нуклоны летят назад.

В заключение автор рад поблагодарить Э.Г.Боос, В.А.Никитина и М.И.Широкова за полезные советы.

Л и т е р а т у р а

1. В.Гейзенберг. Физические принципы квантовой теории, Гостехиздат, М-Л, 1932.
2. М.И.Широков. ЖЭТФ, 42, 173 (1962).
3. D.R.Morrison. The High Energy of Strong interaction up to 30 Gev. CERN/ TC/ Physics 63-1 (1963).
4. S.Matsumoto. Jomal of the Phys. Soc. of Japan. 18, 1 (1963).
5. В.И.Бунямович. Флюктуационные процессы в радиоприемных устройствах, Сов.радио, 1951.
6. В.А.Беляков и др. ЖЭТФ, 39, 937 (1960).
- 6а. C.Grote et al. Nuclear Physics, 34, 648 (1962).
- 6б. М.Сук. Частное сообщение.
7. D.R.Morrison, 1962 Intern. Conf. on H.-E. Phys. CERN, p.606.
8. В.Ф.Вишневский и др. Препринт ОИЯИ Р-1297, Дубна, 1963.
9. L.Bondar et al. $\pi - p$ Interaction at 4.0 Gev/c. Nuovo Cimento (в печати).
10. В.С.Барашенков и др. ЖЭТФ, 42, 217 (1962).
11. R.Hagedorn. Nuovo Cim, 15, 434 (1960).

Рукопись поступила в издательский отдел
22 ноября 1963 г.

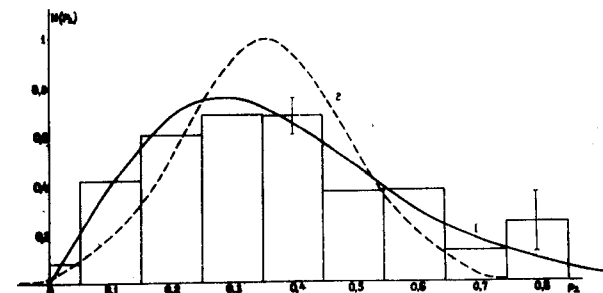


Рис. 1. Распределение протонов с в с.д.м. в функции поперечного импульса для неупругих $\pi^- - N$ взаимодействий при 7 Бэв/с.
Кривая 1 - 2-мерное максвелловское распределение: $N(p_x) = \frac{1}{\sqrt{2\pi}} \int_0^\infty \exp(-p_x^2/2p_x^2) dp_x$
Кривая 2 - распределение Гаусса.

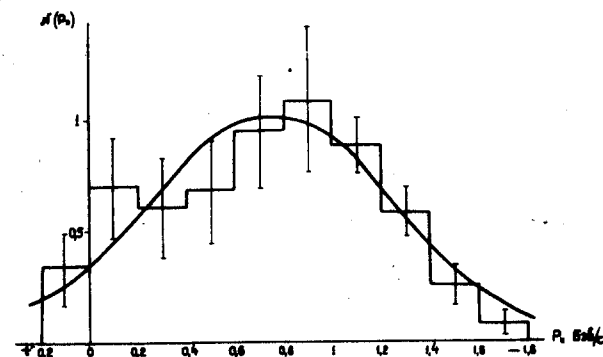


Рис. 2. Распределение протонов в с.д.м. в функции продольного импульса для неупругих $\pi^- - N$ взаимодействий при 7 Бэв/с.
Кривая - гауссово распределение.